

УДК 523.64

В. П. Томанов, В. В. Кузьмичев

Вологодский государственный педагогический университет  
160035 Россия, Вологда, ул. Сергея Орлова 6

### Короткопериелльные кометы

Выполнен статистический анализ системы ( $n = 372$ ) короткопериелльных ( $q < 0.01$  а. е.) комет Крейца. Установлено, что орбиты комет Крейца лежат около плоскости с наклоном  $i = 143^\circ$  и долготой восходящего узла  $\Omega = 359^\circ$ . Обнаружена зависимость наклона кометных орбит от долготы восходящего узла. Кометные перигелии резко концентрируются к точке  $\lambda = 283^\circ$ ,  $\beta = +35^\circ$ . Обсуждается возможность объяснить основные закономерности в системе комет Крейца в рамках гипотезы межзвездного происхождения комет.

КОРОТКОПЕРИГЕЛІЙНІ КОМЕТИ, Томанов В. П., Кузьмичев В. В. — Виконано статистичний аналіз системи ( $n = 372$ ) короткоперигелійних ( $q < 0.01$  а. е.) комет Крейца. Встановлено, що орбіти комет Крейца лежать поблизу площини з нахилом  $i = 143^\circ$  та довготою висхідного вузла  $\Omega = 359^\circ$ . Виявлено залежність нахилу кометних орбіт від довготи висхідного вузла. Кометні перигелії різко концентруються до точки  $\lambda = 283^\circ$ ,  $\beta = +35^\circ$ . Обговорюється можливість пояснити основні закономірності в системі комет Крейца у рамках міжзорянного походження комет.

SHORT-PERIHELION COMETS, by Tomanov V. P., Kuzmichev V. V. — Statistical analysis of the system of short-perihelion Kreutz comets ( $n = 372$ ,  $q < 0.01$  A. U.) is performed. It is found that the orbits of Kreutz comets lie close to the plane with the inclination  $i = 143^\circ$  and longitude of ascending node  $\Omega = 359^\circ$ . A relationship between the comet orbit inclination and longitude of ascending node is revealed. Comet perihelia concentrate drastically to the point with  $\lambda = 283^\circ$ ,  $\beta = +35^\circ$ . The possibility to explain the basic regularities in the Kreutz comet system within the framework of the hypothesis of interstellar origin of comets is discussed.

Короткопериелльными называют кометы, у которых перигелийное расстояние орбит  $q$  не превышает 0.01 а. е. Впервые Крейц [12—14] обратил внимание на близкое сходство элементов орбит почти параболических комет, проходивших через перигелий в 1843, 1880, 1882 и 1887 гг. на

расстоянии  $q < 0.01$  а. е. Всего в XIX столетии было открыто семь короткоперигелийных комет. Такие кометы стали называть кометами группы Крейца или кометами, «царапающими» Солнце (sungrazing comet). В период с 1900 г. по 1985 г. открыто 11 короткоперигелийных комет, за десятилетие с 1986 г. по 1995 — 10 комет, а с 1996 г. по июль 1999 г. открыто 67 комет группы Крейца. В последнее десятилетие короткоперигелийные кометы в основном открывались с помощью коронографов SOLWIND, SMM и SOHO.

Анализ комплекса короткоперигелийных комет открытых до 1989 г., в том числе 15 комет, обнаруженных коронографами SOLWIND и SMM, провел Марсден [17]. Выделены две подгруппы комет: к первой отнесены кометы 1843I, 1880I и 1963V, которые, возможно, появились в результате разделения одной кометы в 1487 г.; вторая подгруппа (1882II, 1945VII, 1965VIII), видимо, возникла в результате деления прародителя в 1100 г.

Для кометной статистики ниже будем использовать почти параболические кометы (ППК, период  $P > 200$  лет) по каталогу Б. Марсдена (Central Bureau for Astronomical Telegrams, Cambridge, USA), презентованному нам в электронном варианте. В каталоге приводятся следующие элементы кометных орбит:  $T$  — момент прохождения через перигелий,  $i$  — наклон к эклиптике,  $\Omega$  — долгота восходящего узла,  $\omega$  — аргумент перигелия,  $q$  — перигелийное расстояние,  $e$  — эксцентриситет. Мы вычислили и дополнительно включили в каталог следующие параметры:  $\lambda_x, \beta_x$  — эклиптические координаты перигелия;  $\lambda_p, \beta_p$  — эклиптические координаты полюса орбиты;  $R_A, R_D$  — гелиоцентрические расстояния восходящего и нисходящего узлов.

По данным Марсдена к концу 2001 г. наблюдалось 1177 ППК, в том числе 414 комет с  $q < 0.1$  а. е. Распределение последних по  $q$  приведено на рис. 1. Четкий максимум на гистограмме в интервале  $0.0044 \leq q < 0.01$  а. е. образуют  $n = 372$  комет. Эти короткоперигелийные кометы будем именовать группой Крейца.

Особенности комет Крейца проявляются как в исключительно малых  $q$ , так и в ориентации плоскостей орбит ( $i, \Omega$ ). Восходящие узлы расположены на узком интервале  $309^\circ < \Omega < 30^\circ$  (рис. 2) и группируются к долготе около  $0^\circ$ .

Распределение комет по наклону  $i$  удобно изучать по распределению полюсов кометных орбит. Мы вычислили плотность  $\sigma = n/2\pi(\cos i_1 - \cos i_2)$  полюсов кометных орбит на 18 шаровых слоях небесной сферы, параллель-

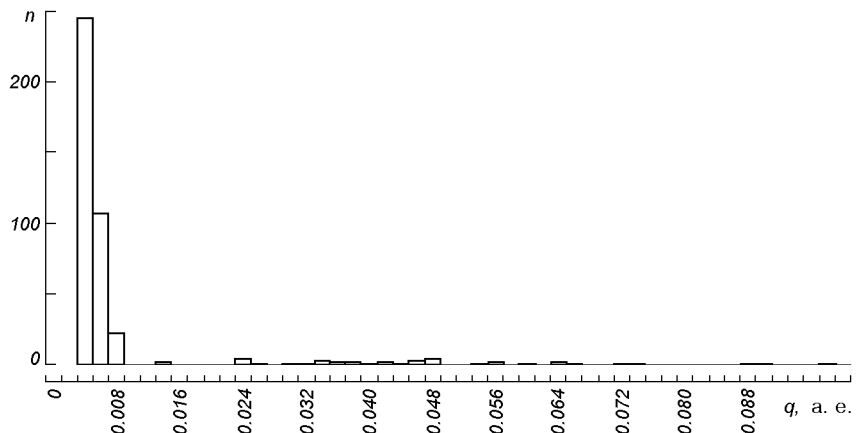
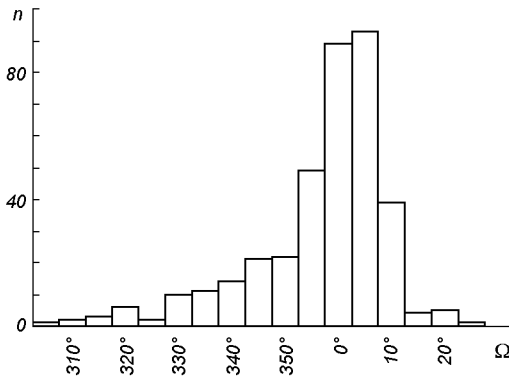
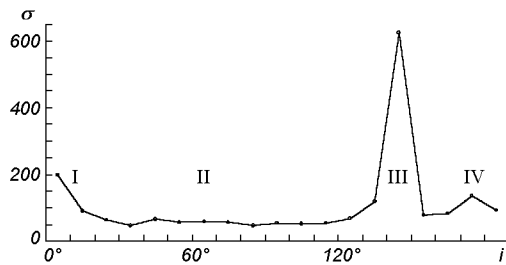


Рис. 1. Распределение короткоперигелийных комет по перигелийному расстоянию  $q$

Рис. 2. Распределение количества  $n$  комет группы Крейца по долготе восходящего узла орбитыРис. 3. Зависимость плотности у полюсов кометных орбит от наклона  $i$ 

ных эклиптике. Принят интервал  $\Delta i = 10^\circ$ . Зависимость  $\sigma(i)$  приведена на рис. 3 для всего комплекса ППК ( $n = 1177$ ). Как видим, по значению у кометы делятся на четыре подгруппы: I ( $i < 15^\circ$ ), II ( $15^\circ < i < 135^\circ$ ), III ( $135^\circ < i < 165^\circ$ ), IV ( $i > 165^\circ$ ). Кометы подгрупп I и IV, с повышенным значением  $\sigma$ , оказались на орbitах вблизи плоскости эклиптики, видимо, вследствие диффузии. Наиболее многочисленна подгруппа II. Кометы Крейца входят в подгруппу III, где  $135^\circ < i < 155^\circ$ . Таким образом, преобладание комет с  $i \approx 143^\circ$  (рис. 3) — еще одна специфическая черта комет Крейца.

Известно, что есть корреляция открытий комет с солнечной активностью [3]. Мы попытались проверить наличие этой корреляции применительно к кометам Крейца. С этой целью на график солнечной активности накладывалась гистограмма распределения комет в эпоху  $T_0$  прохождения их через перигелий. Получены весьма неопределенные результаты: эпоха  $T_0$  совпадает либо с эпохой максимума, либо с эпохой минимума солнечной активности. Так, в годы максимума солнечной активности прошли через перигелий кометы C/1970K1, C/1981B1, C/1981O1, C/1981V1. В эпоху минимума прошли через перигелий кометы C/1843D1, C/1880C1, C/1945X1, C/1963R1, C/1965S1, C/1987T2, C/1987U4.

Но некая периодичность в появлении и открытии комет Крейца, видимо, имеет место. К примеру, в 1981—1984 гг. открыто четыре кометы, в 1985—1986 гг. — ни одной. Серия из 10 комет открыта в 1987—1989 гг., а с 1990 г. по 1995 г. открытий комет не было. Новая серия открытий комет началась в 1996 г. Эмпирически мы нашли, что период открытий комет Крейца приблизительно кратен сидерическому периоду Юпитера ( $T_{\text{Ю}} =$

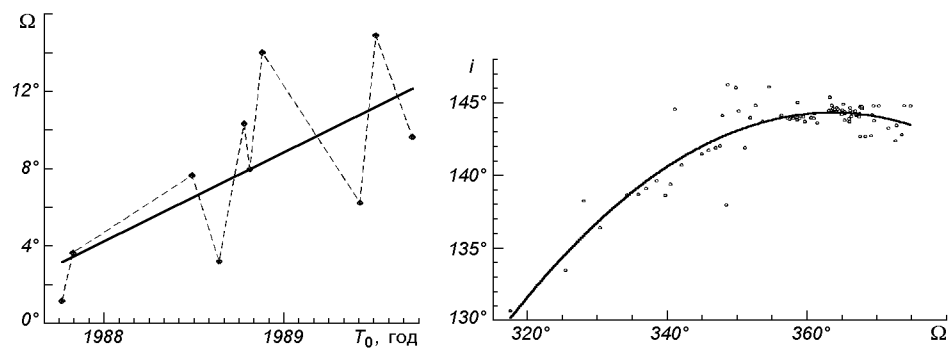


Рис. 4. Зависимость долготы восходящего узла  $\Omega$  от эпохи  $T_0$  прохождения комет через перигелий

Рис. 5. Зависимость наклона от долготы восходящего узла

**Таблица 1.** Осредненные параметры 372 короткоперигелийных кометных орбит

Характеристики орбит	Минимальное значение	Максимальное значение	Среднее	Стандартное отклонение
Наклон $i$	127.42°	148.56°	143.50°	2.60°
Долгота восходящего узла $\Omega$	309.34°	29.69°	359.44°	12.94°
Аргумент перигелия $\omega$	31.07°	103.33°	78.89°	11.10°
Перигелийное расстояние $q$ , а. е.	0.0044	0.0154	0.00598	0.0012
Эксцентриситет $e$	0.999899	1.000000	0.999998	0.000012
Долгота перигелия $\lambda_p$	273.09°	296.18°	282.91°	2.67°
Широта перигелия $\beta_p$	18.08°	49.01°	34.93°	3.01°
Гелиоцентрическое расстояние восходящего узла $R_A$ , а. е.	0.006174	0.01989	0.010174	0.001973
Гелиоцентрическое расстояние нисходящего узла $R_D$ , а. е.	0.008958	0.09788	0.016531	0.010093

= 11.86 года). Возможно, есть связь моментов прохождения кометами перигелия с положением Юпитера на орбите: в то время, когда Юпитер находился на долготах от 0 до 90°, через перигелий прошло около половины комет Крейца.

Обнаружена зависимость  $\Omega(T_0)$ : кометы, позже прошедшие через перигелий, пересекают эклиптику в восходящем узле на больших долготах. На рис. 4 представлена зависимость  $\Omega(T_0)$  для серии из 10 комет, наблюдавшихся в 1987—1990 гг.

Обнаружена зависимость  $i(\Omega)$ : наклон  $i$  изменяется с увеличением  $\Omega$  по синусоидальному закону — тренд на рис. 5 представляет собой фрагмент синусоиды. При построении графика использовались элементы орбит 95 комет Крейца в появлениях до июля 1999 г.

Сведения об основных характеристиках комет Крейца приведены в табл. 1. Как видно из этой таблицы, среднестатистическая комета Крейца приходит в околосолнечную зону из южного эклиптического полушария по почти параболической орбите ( $\bar{e} = 0.999998$ ), пересекает эклиптику в восходящем узле с долготой  $\Omega = 359.44^\circ$  на гелиоцентрическом расстоянии  $\bar{R}_{A'} = 0.0102$  а. е., проходит на минимальном расстоянии от Солнца  $\bar{q} = 0.00598$  а. е., далее перемещается к нисходящему узлу  $\bar{R}_D = 0.0165$  а. е. и

удаляется к афелию в южном полушарии. Здесь используются эклиптические координаты солнечного апекса:

$$\lambda_A = 270^\circ, \quad \beta_A = 53.5^\circ. \quad (1)$$

Откуда приходят к Солнцу кометы Крейца? Для ответа на этот вопрос определим направление на «средний» афелий. Для этой цели применим метод Натансона [4]. Если  $\lambda_Q, \beta_Q$  — эклиптические координаты кометных афелиев, то координаты  $\lambda_0, \beta_0$  точки, к которой концентрируются афелии, находятся из системы уравнений

$$\begin{aligned} nr \cos \lambda_0 \cos \beta_0 &= \sum_{i=1}^n \cos \lambda_{Q_i} \cos \beta_{Q_i}, \\ nr \sin \lambda_0 \cos \beta_0 &= \sum_{i=1}^n \sin \lambda_{Q_i} \cos \beta_{Q_i}, \\ nr \sin \beta_0 &= \sum_{i=1}^n \sin \beta_{Q_i}, \end{aligned} \quad (2)$$

где  $n$  — число комет,  $r$  — степень концентрации ( $0 \leq r \leq 1$ ). Решение системы (2) применительно к  $n = 372$  афелиям орбит комет Крейца дает значение

$$\lambda_0 = 102.91^\circ; \quad \beta_0 = -34.96^\circ; \quad r = 0.9978. \quad (3)$$

Поскольку  $r \rightarrow 1$ , то афелии проектируются практически в одну точку (3). Это означает, что короткопериодичные кометы фактически имеют общую линию апсид, а точка (3) есть радиант данных комет. Таким образом, можно полагать, что кометы Крейца приходят к Солнцу из точки (3).

Примечательный факт близости долготы точки (3) к долготе солнечного антиапекса ранее отмечали В. В. Радзиевский и В. П. Томанов [5]: «Если выбрать из всего используемого материала кометы с  $q < 0.01$  а. е., то окажется, что таких комет всего восемь, но все они имеют практически одинаковую долготу перигелия ( $271^\circ \leq \lambda_x \leq 281^\circ$ ). Не будет преувеличением сказать, что эти кометы фактически падают на Солнце из точки, долгота которой совпадает с долготой солнечного антиапекса. Вероятность случайного попадания всех восьми объектов в сектор шириной  $11^\circ$  близка к нулю».

В работе [2] выполнен анализ распределения кометных перигелиев, доказана связь перигелийных направлений с апексом Солнца и направлением на центр Галактики, сделано заключение, что все статистические закономерности распределения перигелиев орбит долгопериодических комет свидетельствуют в пользу гипотезы межзвездного происхождения комет. В проблеме межзвездного происхождения комет обычно рассматриваются два механизма захвата комет в Солнечную систему: столкновительный захват межзвездной материи на антиапексиальной полуоси пекулярного движения Солнца по схеме Агекяна [1] — Литтлтона [16] и гравитационный захват комет планетами по схеме Лапласа [15].

Как известно, захват межзвездной материи на антиапексиальной полуоси движения Солнца за счет гравитационной фокусировки и последующих столкновений в наиболее общем виде был рассмотрен Т. А. Агекяном [1]. Аналогичный механизм захвата с применением результатов конкретно к проблеме происхождения комет рассматривался Литтлтоном [16]. В гипотезе Литтлтона предполагается, что образование комет происходит в двух встречных потоках захваченных межзвездных частиц на антиапексиальном луче движения Солнца (газопылевой шлейф — «хвост Нольке», как его назвал Н. Д. Моисеев). В модификации теории Агекяна, изложенной в

работе [6], предполагается, что кометы образуются из сгустков межзвездной среды, захваченных в результате взаимодействия с «хвостом Нольке».

Продолжим исследование этого вопроса применительно к короткоперигелийным кометам. Предварительно определим границы области возможных захватов, а далее покажем, что перигелии орбит захваченной материи должны концентрироваться в области солнечного апекса; выясним условия, при которых могут образовываться орбиты с малыми  $q$ .

Так же, как в большинстве работ по гравитационной фокусировке, считаем Солнце неподвижным. Тогда поток межзвездных частиц, имеющих в бесконечности скорость  $V_\infty$ , движется к Солнцу со стороны его апекса. Орбита каждой частицы есть невозмущенная гипербола с фокусом в Солнце. Пусть в некоторой точке, расположенной на угловом расстоянии  $\theta$  от солнечного апекса, произошло столкновение двух частиц (тел). В работе [6] показано, что трансверсальные  $V'_t$  и радиальные  $V'_r$  компоненты обеих частиц перед столкновением определяются выражениями

$$(V'_t)_{1,2} = \frac{V_\infty}{2} \left[ \sin \theta \pm \sin \theta \sqrt{1 + \frac{4\mu}{RV_\infty^2(1 + \cos \theta)}} \right], \quad (4)$$

$$(V'_r)_{1,2} = \frac{V_\infty}{2} \left[ (1 - \cos \theta) \mp (1 + \cos \theta) \sqrt{1 + \frac{4\mu}{RV_\infty^2(1 + \cos \theta)}} \right], \quad (5)$$

где  $R$  — гелиоцентрический радиус-вектор точки столкновения,  $\mu$  — произведение гравитационной постоянной на массу Солнца, знак «+» относится к частицам, еще не пересекшим луч движения Солнца, знак «-» — к встречным частицам.

При условии равенства масс сталкивающихся частиц средняя трансверсальная скорость после столкновения и гашения разнозначных компонентов будет равна

$$V_t = \frac{V_\infty}{2} \sin \theta, \quad (6)$$

а радиальная скорость после столкновения —

$$V_r = \frac{V_\infty}{2} (1 - \cos \theta). \quad (7)$$

Полная скорость определится из выражения

$$V^2 = V_t^2 + V_r^2 = \frac{V_\infty^2}{2} (1 - \cos \theta) = \frac{2\mu}{R} - \frac{\mu}{a}. \quad (8)$$

Для захвата необходимо, чтобы полная скорость была меньше параболической:

$$V^2 = \frac{V_\infty^2}{2} (1 - \cos \theta) \leq \frac{2\mu}{R}. \quad (9)$$

Из (9) определяем границы области захвата:

$$R = \frac{4\mu}{V_\infty^2 (1 - \cos \theta)}. \quad (10)$$

Видно, что область захвата ограничена параболоидом вращения вокруг оси движения Солнца и с вершиной в направлении антиапекса. Расстояние до

вершины ( $\theta = 180^\circ$ ,  $V_\infty = 19.5$  км/с) равно

$$R = \frac{2\mu}{V_\infty^2} = 7 \cdot 10^{13} \text{ см} = 4.7 \text{ а. е.} \quad (11)$$

Поскольку в любой точке области захвата уравнениями (6) и (7) определены оба компонента скорости, то возникает возможность выразить элементы вторичной орбиты через координаты  $R$  и  $\theta$  точки захвата, и наоборот, по известным элементам орбиты установить место  $(R, \theta)$ , где произошел захват.

Для дальнейшего нам будет достаточно выразить радиус-вектор точки захвата через перигелийное расстояние  $q$  орбиты, на которую будут переведены частицы после захвата. Из (7) и (8) следует  $V^2 = V_\infty V_r$ , откуда

$$V^4 = V_\infty^2 (V^2 - V_t^2). \quad (12)$$

Выражая в (12)  $V^2$  через  $R$  из (8), используя (6) и решая полученное уравнение относительно  $R$ , находим

$$R = a \frac{1 + 2\varepsilon \pm \sqrt{e^2 - (1 - e^2)\varepsilon}}{1 + \varepsilon}, \quad (13)$$

где через  $\varepsilon$  обозначено отношение  $\varepsilon = \mu/(aV_\infty^2)$ . Если захват произошел на почти параболическую орбиту ( $e = 1$ ,  $\varepsilon \ll 1$ ), то выражение (13) может быть разложено в ряд по степеням  $\varepsilon$  и заменено приближенной формулой, выражающей  $R$  через перигелийное расстояние  $q$ :

$$R = q + \varepsilon Q \frac{1 + e}{2e} \approx q + \frac{2\mu}{V_\infty^2}, \quad (14)$$

где  $Q$  — афелийное расстояние.

В работе [8] доказана теорема: при захвате на поверхности параболоида (10) перигелий вторичной орбиты с  $e = 1$  должен всегда точно совпадать с апексом Солнца.

Итак, в рамках теории межзвездного происхождения комет прогнозируется высокая концентрация перигелиев кометных орбит в районе солнечного апекса. Реальное распределение перигелиев ППК недавно изучалось в работе [2]. В табл. 2 приводятся результаты вычислений по уравнениям (2) применительно к перигелиям. В первой строчке приведены данные для  $n = 1177$  комет: перигелии концентрируются к точке с координатами  $\lambda_a =$

**Таблица 2.** Концентрация кометных перигелиев к солнечному апексу

Статистический коллектив	$n$	$\lambda_a$ , град	$\beta_a$ , град	$r$	$\theta_A$ , град
ППК	1177	277.5	41.4	0.383	13.1
Кометы Крейца ( $q < 0.01$ а. е.)	372	282.9	34.9	0.998	20.6
ППК ( $q > 0.01$ а. е.)	805	238.3	61.9	0.120	18.7
ДПК ( $e < 1$ )	267	254.2	37.3	0.150	19.6
ПК ( $e = 1$ )	734	283.3	40.7	0.530	15.6
ГК ( $e > 1$ )	176	228.8	40.7	0.174	30.3
Прямые ( $i < 90^\circ$ )	382	219.2	67.9	0.123	27.6
Обратные ( $i > 90^\circ$ )	795	280.1	37.7	0.523	17.3

$= 277.5^\circ$ ,  $\beta_a = 41.4^\circ$ , угловое расстояние которой от апекса (1) составляет  $\theta_A = 13.1^\circ$ . Из табл. 2 видно, что степень концентрации перигелиев к солнечному апексу максимальна у параболических комет ( $e = 1$ ), у комет с обратным движением ( $i > 90^\circ$ ). Смещение точек концентрации перигелиев от стандартного апекса в работе [2] интерпретируется как следствие возмущений.

Перигелии комет Крейца практически проектируются в одну точку:  $\lambda_a = 282.9^\circ$ ,  $\beta_a = 34.9^\circ$ . Отклонение этой точки от стандартного апекса (1) составляет  $\theta_A = 20.6^\circ$  (табл. 2). Можно предположить, что в эпоху захвата комет координаты солнечного апекса и точки концентрации перигелиев комет Крейца совпадали. Движение среднестатистической кометы Крейца происходит в плоскости  $i = 143^\circ$ ,  $\Omega = 359^\circ$  (табл. 1). Интересно, что данная плоскость почти перпендикулярна к галактической плоскости. Изменение координат солнечного апекса могло иметь место при колебаниях Солнца относительно галактической плоскости.

Если направление на кометный перигелий близко к направлению на солнечный апекс, то из теории столкновительного захвата вытекает еще одно исключительно важное положение: перигелийное расстояние кометной орбиты может быть сколь угодно малым. Другими словами, возникает возможность объяснить малые перигелийные расстояния комет Крейца. В работе [6] показано, что для ППК имеет место соотношение

$$q = \frac{\mu}{2V_\infty^2} \left[ \frac{(1 + u^2/V_\infty^2)}{(1 - u^2/V_\infty^2)^2} \right] \sin^2 \theta_\pi, \quad (16)$$

Таблица 3. Кометные элементы орбит после захвата

Планета	$V_\infty$ , км/с	$\varphi$ , град	$i$ , град	$\Omega$ , град	$\omega$ , град	$a$ , а.е.	$e$	$q$ , а.е.	$\lambda_\pi$ , град	$\beta_\pi$ , град
Меркурий	3	60	144.5	12.7	97.0	+145.5	0.999	0.170	111.2	+35.2
Венера	3	60	144.8	12.2	95.2	+81.8	0.996	0.327	108.5	+35.0
Юпитер	3	60	145.6	7.4	79.4	+181.7	0.984	2.978	84.6	+33.7
Меркурий	3	120	144.4	12.8	97.5	+47.4	0.996	0.167	112.0	+35.3
Венера	3	120	144.6	12.6	96.5	+30.7	0.990	0.316	111.6	+35.2
Юпитер	3	120	146.1	9.4	90.4	+27.0	0.914	2.315	99.9	+33.9
Меркурий	3	180	144.4	12.9	97.6	+126.8	0.999	0.166	112.2	+35.2
Венера	3	180	144.6	12.6	96.9	+68.4	0.995	0.310	111.1	+35.2
Юпитер	3	180	146.3	9.4	93.5	+59.0	0.966	1.991	103.6	+33.7
Меркурий	3	240	144.5	12.7	97.2	-52.5	1.003	0.167	111.6	+35.2
Венера	3	240	144.8	12.3	95.9	-45.7	1.007	0.316	109.5	+35.0
Юпитер	3	240	147.8	6.8	86.3	-48.6	1.047	2.296	92.4	+32.1
Меркурий	5	60	144.5	12.7	94.6	-85.1	1.002	0.177	108.3	+35.4
Венера	5	60	144.7	12.2	91.8	-144.3	1.002	0.347	104.5	+35.2
Юпитер	5	60	145.2	7.6	69.3	-60.8	1.056	3.375	73.0	+32.3
Меркурий	5	120	144.4	12.8	95.1	+327.8	0.999	0.175	109.1	+35.4
Венера	5	120	144.6	12.6	93.2	+69.3	0.995	0.395	106.5	+35.4
Юпитер	5	120	145.9	9.4	79.5	+54.5	0.950	2.722	86.7	+33.4
Меркурий	5	180	144.4	12.9	95.3	-104.0	1.002	0.174	109.3	+35.4
Венера	5	180	144.5	12.6	93.6	-411.2	1.001	0.329	107.0	+35.4
Юпитер	5	180	146.1	9.1	83.3	+633.7	0.996	2.366	91.0	+33.6
Меркурий	5	240	144.5	12.7	94.9	-27.4	1.006	0.175	108.7	+35.4
Венера	5	240	144.8	12.3	92.6	-25.7	1.013	0.335	105.5	+35.2
Юпитер	5	240	147.4	6.7	76.7	-27.5	1.097	2.671	81.0	+31.6

где  $u$  — дисперсия скоростей тел в бесконечности,  $\theta_\pi$  — угловое расстояние перигелиев от апекса. Как видно из (16), при  $\theta_\pi \rightarrow 0$  можно получить  $q \rightarrow 0$ .

Итак, в рамках теории столкновительного захвата можно объяснить исключительно малые перигелийные расстояния и резкую концентрацию перигелиев комет Крейца к солнечному апексу.

Далее мы проверили возможность объяснить происхождение комет Крейца на основе механизма гравитационного захвата комет планетами. В общем виде теория гравитационного захвата изложена в работе В. В. Радзинского и В. П. Томанова [7], а применительно к захвату межзвездных комет Юпитером и Сатурном — в работе В. П. Томанова [9]. Предполагается, что до пересечения границы сферы влияния планеты кометное ядро движется по невозмущенной гелиоцентрической орбите. Одна из веток начальной гиперболы проходит через радиант, который совпадает с апексом Солнца, если само ядро в бесконечности покоится относительно того центроида звезд, по отношению к которому определены элементы солнечного апекса. При входе ядра в сферу влияния планеты осуществляется переход к планетоцентрическому движению. После выхода из сферы влияния ядро снова движется по невозмущенной гелиоцентрической орбите, которая и является конечной орбитой захваченной кометы.

В работе [10] приведен полный математический алгоритм, описывающий пертурбационный маневр кометы в гравитационном поле планеты. Разработана компьютерная программа, позволяющая вычислить все элементы кометной орбиты после захвата. Результаты вычислений приведены в табл. 3 для Меркурия, Венеры и Юпитера. При расчетах использовались следующие начальные условия: координаты солнечного апекса  $\lambda_A = 283^\circ$ ,  $\beta_A = +35^\circ$ ; скорость  $V_\infty$  кометы в бесконечности равна 3 и 5 км/с; долгота планеты  $\lambda = 193^\circ$ . Сферические планетоцентрические координаты  $\varphi$  и  $\theta$  точки входа кометы в сферу влияния планеты изменялись с шагом  $1^\circ$ . Посчитан огромный массив теоретических орбит. В табл. 3 приведены элементы кометных орбит, образующихся при  $\theta = 60^\circ$ , и четырех значениях  $\varphi$ :  $60^\circ, 120^\circ, 180^\circ, 240^\circ$ .

Теоретические значения наклона  $i$ , долготы восходящего узла  $\Omega$  и аргумента перигелия  $\omega$  (табл. 3) практически совпадают с соответствующими средними значениями элементов орбит комет Крейца (табл. 1).

Теоретические значения большой полуоси  $a$  и эксцентриситета  $e$  также соответствуют каталогным данным для комет Крейца. Заметим, что на выходе из сферы влияния могут образовываться орбиты с гиперболическим эксцентриситетом и отрицательным значением  $a$ . В частности, при  $\varphi = 240^\circ$  все планеты порождают орбиты с  $a < 0, e > 1$  (табл. 3).

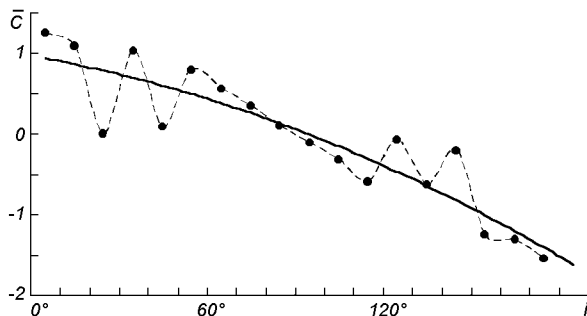


Рис. 6. Зависимость среднего значения постоянной Тиссерана  $\bar{C}$  от наклона  $i$

Юпитер создает орбиты с максимальным перигелийным расстоянием  $q$ , Меркурий — с минимальным  $q$ . Однако даже Меркурий не в состоянии обеспечить захват комет с  $q < 0.01$  а. е. Минимальное значение  $q$  у комет, вышедших из сферы влияния Меркурия, составляет 0.166 а. е. Это обстоятельство является серьезным аргументом против попытки объяснить происхождение комет Крейца путем захвата с помощью Меркурия.

Широта перигелия  $\beta_{\pi}$  теоретических орбит точно совпадает с широтой перигелия реальных комет, по расчетам долгота перигелия  $\lambda_{\pi}$  отличается примерно на  $180^{\circ}$  от долготы перигелия комет Крейца (табл. 3).

Для всех ППК мы вычислили значение постоянной Тиссерана

$$C_T = \frac{A}{a} + 2 \sqrt{\frac{(1+e)q}{A}} \cos i,$$

где  $A = 5.2028$  а. е. — большая полуось орбиты Юпитера;  $a$ ,  $e$ ,  $q$ ,  $i$  — элементы кометной орбиты.

На рис. 6 представлена зависимость постоянной Тиссерана от наклона. При построении графика использовались средние значения постоянной Тиссерана  $\bar{C}$  на каждом интервале  $\Delta i = 10^{\circ}$ . Как видно из рис. 6, для орбит с крутым наклоном ( $55^{\circ} < i < 115^{\circ}$ ) имеет место почти линейная зависимость  $\bar{C}(i)$ . Для пологих орбит ( $55^{\circ} < i, i > 115^{\circ}$ ) постоянная Тиссерана  $\bar{C}$  осциллирует относительно тренда. Представленная на рис. 6 зависимость  $\bar{C}(i)$ , видимо, отражает генетические особенности кометной системы и должна иметь космогоническую интерпретацию. Например, не исключено, что отмеченные осцилляции  $\bar{C}$  являются следствием многоступенчатого захвата.

Подводя итоги, можно констатировать, что систему комет Крейца характеризуют следующие основные закономерности.

1. Малые перигелийные расстояния  $q < 0.01$  а. е.
2. Орбиты комет Крейца расположены около плоскости  $i = 143^{\circ}$ ,  $\Omega \approx 0^{\circ}$ .
3. Кометы Крейца открываются сериями. Наблюдается периодичность эпохи  $T_0$  прохождения комет через перигелий.
4. Для отдельной серии комет с увеличением  $T_0$  увеличивается долгота восходящего узла.
5. Наблюдается зависимость  $i$  от  $\Omega$ : с увеличением  $\Omega$  увеличивается наклон  $i$ .
6. Кометные перигелии расположены недалеко от солнечного апекса.

Космогония комет Крейца может получить положительное решение в рамках теории межзвездного происхождения комет.

В работе рассмотрены кинематические следствия захвата комет из межзвездного пространства в результате двух механизмов:

- 1) гравитационный маневр кометы в сфере действия планеты (по Лапласу);
- 2) столкновительный захват на антиапексиальной полуоси пекулярного движения Солнца в результате гравитационной фокусировки (по Литтлтону).

Кинематические характеристики и теоретические элементы кометных орбит, вычисленные на основе каждого из названных механизмов, оказываются практически одинаковыми и совпадающими с каталожными данными. Но если лапласовский механизм безупречен в небесно-механическом аспекте, и никогда не подвергался критике со стороны астрофизиков, то захват комет по Литтлону, как убедительно показал Л. М. Шульман [11], невозможен: при столкновении тел на антиапексиальной полуоси, так как происходит их

превращение в пар и дальнейший разлет по законам газодинамики, что, естественно, исключает в будущем образование ледяного кометного ядра.

1. Агекян Т. А. К динамике звездных прохождений сквозь облака метеорной материи // Докл. АН СССР.—1949.—79, № 4.—С. 515—521.
2. Аксеновский А. Г., Калиничева О. В., Томанов В. П. Распределение перигелиев орбит долгопериодических комет // Кинематика и физика небес. тел.—1998.—14, № 5.—С. 443—450.
3. Добровольский О. В. Кометы. — М.: Наука, 1966.—288 с.
4. Натансон С. Г. О происхождении комет // Тр. астрон. обсерватории Петроград. ун-та.—1923.—С. 18—24.
5. Радзивский В. В., Томанов В. П. К вопросу о происхождении почти параболических комет // Астрон. журн.—1970.—47, № 5.—С. 1094—1099.
6. Радзивский В. В., Томанов В. П. Новые данные в пользу межзвездного происхождения комет // Астрон. вестн.—1973.—7, № 2.—С. 73—82.
7. Радзивский В. В., Томанов В. П. О захвате комет по схеме Лапласа // Астрон. журн.—1977.—54, № 2.—С. 388—397.
8. Томанов В. П. Апекс Солнца относительно протокометного облака // Астрон. журн.—1976.—53, № 3.—С. 647—654.
9. Томанов В. П. К вопросу о захвате комет Юпитером // Астрон. журн.—1980.—57, № 4.—С. 816—823;—1981.—58, № 2.—С. 408—415.
10. Томанов В. П., Кузьмин С. В., Аксеновский А. Г. Захват межзвездных комет // Астрон. вестн.—1994.—28, № 2.—С. 83—94.
11. Шульман Л. М. О невозможности образования комет по схеме Литтлтона // Астрометрия и астрофизика.—1980.—Вып. 40.—С. 69—73.
12. Kreutz H. Untersuchungen über das Kometensystem 1843 I, 1880 I und 1882 II. I Teil // Publ. Sternw. Kiel.—1888.—N 3.—S. 1—11.
13. Kreutz H. Untersuchungen über das System der Kometen 1843 I, 1880 I und 1882 II. II Teil. Der grosse Septemberkomet 1882 II // Publ. Sternw. Kiel.—1891.—N 6.—S. 1—67.
14. Kreutz H. Untersuchungen über das Kometensystem 1843 I, 1880 I und 1882. III Teil // Astron. Abhandl.—1901.—1.—P. 1—90.
15. Laplace P. S. Exposition du systems du Monde. — Paris, 1796.—Ed. 1-5.
16. Lyttleton R. A. The Comets and their Origin. — Cambridge: Univ. Press, 1953.—143 p.
17. Marsden B. G. The sungrazing Comet Group // Astron. J.—1989.—98, N 6.—P. 2306—2321.

Поступила в редакцию 09.09.04